

# Mini-Projet d'Algorithmique

VALETTE Manon – BEN KIRANE Malik

Novembre 2016

## 1 Partie théorique

### Partie 1

**Question 1.1** On peut énumérer tous les sous-ensembles  $C_k$  de paires  $(x_i, y_j)$  pour deux séquences  $X = (x_i)_{1 \leq i \leq d}$  et  $Y = (y_i)_{1 \leq i \leq d}$  et tester si se sont des alignements. Il y a  $d^2$  paires possibles, soit la paires est dans  $C_k$ , soit elle ne l'est pas, ce qui nous donne  $2^{d^2}$  sous-ensembles  $C_k$  tester.

**Question 1.2** Soit  $M$  un alignement de  $X$  et  $Y$ . Supposons que  $(x_m, y_n) \notin M$  et qu'il existe  $i \leq m, j \leq n$  tels que  $(x_i, y_n) \in M$  et  $(x_m, y_j) \in M$  (i.e.  $x_m$  et  $y_n$  apparaissent dans  $M$ ). Nécessairement  $i < m$  et  $j < n$  puisque  $x_m$  et  $y_n$  apparaissent au plus une fois. De plus comme il n'y a pas de croisement dans  $M$  et que  $i < m, n < j$ . Contradiction.

**Notation** Par abus, pour un alignement  $M$  de deux séquences  $X = (x_i)_{0 \leq i \leq m}$  et  $Y = (y_j)_{0 \leq j \leq n}$ , on notera  $x_k \in M$  lorsqu'il existe  $j$ , tel que  $(x_k, y_j) \in M$ , symétriquement on pourra aussi écrire  $y_l \in M$ , et on déduit les négations respectives.

**Question 1.3** Les trois cas de figures suivants se déduisent de la réflexion précédente :

- $x_m \notin M$
- $y_n \notin M$
- $(x_m, y_n) \in M$

**Notation** Pour un alignement  $M$  de deux séquences  $X = (x_i)_{1 \leq i \leq m}$  et  $Y = (y_i)_{1 \leq i \leq n}$ . On note  $M_{i,j}$  le sous-alignement  $\{(x_k, y_l) \in M \mid k \leq i, l \leq j\}$ . On convient que  $M = M_{m,n}$ . Il est évident que  $M_{i,j}$  est un alignement de ses sous-séquences correspondantes i.e.  $(x_k)_{k \leq i}$  et  $(y_l)_{l \leq j}$ .

**Question 1.4** Considérons  $M^*$  un alignement de coût minimal des séquences  $(x_i)_{1 \leq i \leq m}$  et  $(y_j)_{1 \leq j \leq n}$ . Un tel alignement existe puisque l'ensemble des alignements pour une séquence donnée est fini.

1. lorsque  $(x_m, y_n) \in M^*$

$$F(m, n) = f(M^*) = \underbrace{\sum_{(x_i, y_j) \in M_{m-1, n-1}^*} \delta_{x_i y_j} + \sum_{x_i \notin M_{m-1, n-1}^*} \delta_{gap} + \sum_{y_j \notin M_{m-1, n-1}^*} \delta_{gap} + \delta_{x_m y_n}}_{f(M_{m-1, n-1}^*)}$$

Or  $M_{m-1, n-1}^*$  est de coût minimal pour ses sous-séquences coresspondantes. Donc :

$$F(m, n) = F(m-1, n-1) + \delta_{x_m y_n}.$$

2. lorsque  $x_m \notin M^*$ ,  $M_{m-1,n}^*$  est optimal pour ses sous-séquences correspondantes. Donc :

$$F(m, n) = F(m-1, n) + \delta_{gap}$$

3. lorsque  $y_n \notin M^*$ , de même  $M_{m,n-1}^*$  est optimal et :

$$F(m, n) = F(m, n-1) + \delta_{gap}$$

**Question 1.5** Afin de d'optimiser le coût d'un alignement il suffit de prendre la plus petite valeur des trois cas de figures. Soit pour  $i \geq 1, j \geq 1$  :

$$F(i, j) = \min \left\{ F(i-1, j-1) + \delta_{x_i y_j}, F(i-1, j) + \delta_{gap}, F(i, j-1) + \delta_{gap} \right\}$$

**Question 1.6** Soit  $i \in \{1 \dots m\}$ . Tout alignement  $M_{i,0}$  est vide. Donc,

$$F(i, 0) = \underbrace{\sum_{(x_i, y_j) \in M_{i,0}^*} \delta_{x_i y_j} + \sum_{y_j \notin M_{i,0}^*} \delta_{gap} + \sum_{x_i \notin M_{i,0}^*} \delta_{gap}}_{=0} = i \delta_{gap}.$$

Par symétrie,  $F(0, j) = j \delta_{gap}$  pour tout  $j \in \{1 \dots n\}$ .

**Question 1.7** On convient que l'on dispose de la primitive MIN renvoyant la valeur minimale d'un n-uplet. On convient aussi d'une primitive **creerMatrice**(N,M,V) qui initialise une matrice de taille  $N \times M$  à valeur unique V et dont les indices sont compris entre  $[0,0]$  et  $[N-1,M-1]$ .

L'approche, ici, est de type programmation dynamique : MEMO-COUT1 ne calcul  $C[i, j]$  ( $F(i, j)$ ) que s'il n'a pas été calculé précédemment. COUT1 appel MEMO-COUT1  $m \times n$  fois soit une complexité temporelle en  $\Theta(mn)$ . Cette mémorisation nous donne une complexité spatiale en  $\Theta(mn)$ .

La matrice P correspond aux pénalités de correspondances  $\delta_{x_i y_j}$  et **d-gap** à la pénalité  $\delta_{gap}$ .

MEMO-COUT1(C : Matrice(m,n), P : Matrice(m,n), d-gap, i, j)

SI C[i,j] < 0 ALORS

RETOURNER MIN(MEMO-COUT1(C, i-1, j-1) + P[i,j],  
MEMO-COUT1(C, i-1, j) + d-gap,  
MEMO-COUT1(C, i, j-1) + d-gap)

SINON RETOURNER C[i,j]

COUT1(P : Matrice(m,n), d-gap)

C <- creerMatrice(m+1,n+1,-1)

C[0,0] <- 0

POUR i = 1..m FAIRE

C[i,0] <- i \* d-gap

POUR j = 1..n FAIRE

C[0,j] <- j \* d-gap

POUR i = 1..m FAIRE

POUR j = 1..n FAIRE

C[i,j] = MEMO-COUT1(C, P, d-gap, i, j)

RETOURNER C[m,n]

**Question 1.8** On dispose des  $C[i, j]$  : matrice globale des coûts des sous-alignements optimaux  $M_{i,j}^*$ . La liste de paire  $M$ , initialisée à la liste vide au début de l'algorithme est construite récursivement par REC-SOL1. Elle correspond à un alignement optimal pour la fonction coût  $f$ .

$P$  et  $d\text{-gap}$  ont la même sémantique qu'à la question 1.7.

```

REC-SOL1(M : liste de paires, i, j, P, d-gap)
  SI i = 0 OU j = 0 ALORS TERMINER
  SI C[i,j] = C[i-1,j-1] + P[i,j] ALORS
    M.append((i,j))
    REC-SOL1(M, i-1, j-1, P, d-gap)
  SINON SI C[i,j] = C[i-1,j] + d-gap ALORS
    REC-SOL1(M, i-1, j, P, d-gap)
  SINON REC-SOL1(M, i, j-1, P, d-gap)

```

```

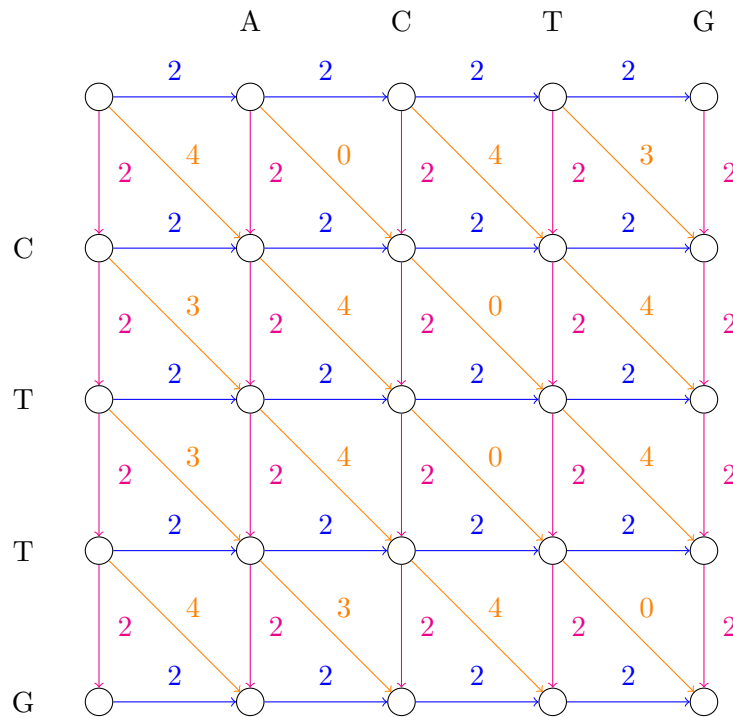
SOL1(m, n, P, d-gap)
  M <- creerListeVide()
  REC-SOL1(M, m, n, P, d-gap)
  RETOURNER M

```

REC-SOL1( $m, n$ ) à une complexité temporelle en  $O(\max(m, n))$ . Globalement cela nous donne toujours une complexité en  $\Theta(mn)$ . La complexité spatiale globale ne varie pas non plus ( $\Theta(mn)$ ) puisque  $M$  occupe asymptotiquement au plus  $O(m + n)$  espace.

## Partie 2

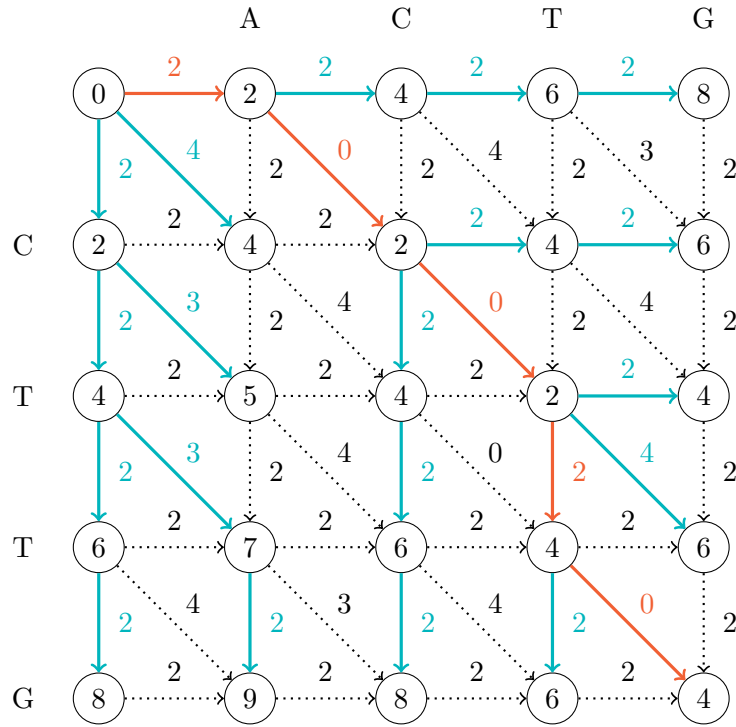
**Question 2.1** Ci-dessous le graphe correspondant à l'exemple proposé.



### Question 2.2 (facultatif)

**Question 2.3** Pour déterminer un plus court chemin de  $(0,0)$  à  $(m,n)$  dans  $G_{XY}$ , on peut utiliser l'algorithme de Dijkstra, dont la complexité est en  $O((N + M) \log N)$  (pour un graphe à  $N$  sommets et  $M$  arcs).

L'arborescence des plus courts chemins obtenue avec l'algorithme de *Dijkstra* appliqué au graphe obtenu à la question 2.1 est représentée sur la figure ci-après par les arcs colorés, dont ceux en rouge constituent un plus court chemin de  $(0,0)$  à  $(m,n)$ .



L'alignement optimal correspondant est donc :

–	A	C	T	–	G
–	–	C	T	T	G

**Question 2.4** La complexité spatiale ne varie pas de celle proposée par l'algorithme de la partie 1, soit  $\Theta(nm)$ , l'algorithme de *Dijkstra* nous donne une arborescence des chemins de coûts minimum en  $O(nm \log(nm))$  pour notre problème ( $N = nm$  et  $M = (n - 1)(m - 1) + n(m - 1) + m(n - 1)$  avec les notations de la question 2.3), soit une moins bonne complexité temporelle qu'à la partie 1.

### Partie 3

**Question 3.1** Si on compare deux séquences de longueurs  $d$  identiques (pire cas), les algorithmes des parties précédentes ont besoins à une constante prêt (1 octet) de  $d^2$  espace mémoire que l'on note  $T_{mem}$ , soit  $d = \sqrt{T_{mem}}$ . Le tableau ci-dessous nous donne quelques applications numériques.

$T_{mem} =$	8Go	16Go	32Go
$d \approx$	89K	126K	179K

**Question 3.2** On convient que l'on dispose d'un algorithme  $P(i, j)$ , cachant une structure de données spécifique, donnant les pénalités de correspondances  $\delta_{x_i y_j}$  tel qu'en complexité spatiale, il ne dépend que de la taille des alphabets utilisés pour coder les séquences  $X = (x_i)_{0 \leq i \leq m}$  et  $Y = (y_j)_{0 \leq j \leq n}$  que l'on souhaite comparer. Entre autre on ne stocke pas les pénalités de correspondances nulles.

Pour COUT2, on est toujours sur une approche type programmation dynamique : le calcul de  $F(i, j)$  par l'algorithme auxiliaire MEMO-COUT2 ne se fait que s'il n'a pas déjà été fait, l'argument  $l$  qui est passée en argument indique laquelle des deux lignes  $i - 1$  ( $l=0$ ) ou  $i$  ( $l=1$  par exemple) est nécessaire pour le calcul de  $F(i, j)$ .

L'algorithme auxiliaire MAJ-MEMO, auquel on passe en argument des références aux tableaux de mémorisation, fait la transition avec la paire de lignes suivante.

MAJ-MEMO(T0, T1, i)

```

T0 <- T1
T1[0] <- i * d-gap
POUR j = 1..n FAIRE
    T1[j] = -1

```

MEMO-COUT2(T0, T1, l, i, j)

```

SI l = 0 ALORS RETOURNER T0[j]
SI T1[j] < 0 ALORS
    RETOURNER MIN(MEMO-COUT2(T0, T1, 0, i, j-1) + P(i, j),
                  MEMO-COUT2(T0, T1, 1, i, j-1) + d-gap,
                  MEMO-COUT2(T0, T1, 0, i, j) + d-gap)
SINON RETOURNER T1[j]

```

COUT2(i, j)

```

T0[0..j] : tableau
T1[0..j] : tableau
T0[0] = 0
T1[0] = d-gap
POUR l = 1..j FAIRE
    T0[l] = l * d-gap
POUR l = 1..i FAIRE
    T1[l] = -1
POUR k = 1..i FAIRE
    POUR l = 1..j FAIRE
        MEMO-COUT2(T0, T1, l, k, l)
    MAJ-MEMO(T0, T1, k+1)
RETOURNER T1[j]

```

La complexité temporelle de  $\text{COUT2}(i, j)$  est la même que celle de  $\text{COUT1}(i, j)$  *i.e.*  $\Theta(ij)$ . Cependant, si on note  $cs(P(i, j))$  la complexité spatiale de  $P$ , la complexité spatiale de  $\text{COUT2}(i, j)$  est en  $\Theta(j + cs(P(i, j)))$ . En supposant que  $cs(P(i, j))$  est asymptotiquement majorée par  $\sigma^2$  avec  $\sigma$  la taille de l'alphabet utilisé pour encoder nos séquences, et que  $\sigma^2$  est majoré par  $j$  qui est une hypothèse convenable avec les hypothèse faite sur la complexité spatiale de  $P$  et la taille des séquences à comparé,  $\text{COUT2}(i, j)$  est en  $O(j)$ .

**Question 3.3**  $\text{COUT2}$  suit le même principe que  $\text{COUT1}$  en translatant le problème au sous graphe induit par le sous-ensemble de sommets  $\{(k, l) \mid i \leq k \leq m \text{ et } j \leq l \leq n\}$ .

```

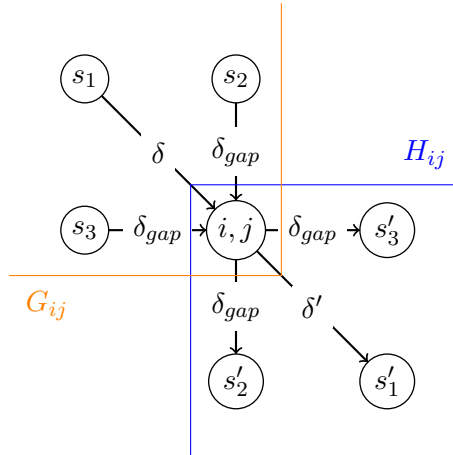
COUT2BIS(i, j, m, n)
  T0[0..n-j] : tableau
  T1[0..n-j] : tableau
  T0[0] <- 0
  T1[0] <- d-gap
  POUR l = 1..n-j FAIRE
    T1[l] <- l * d-gap
  POUR k = 1..m-i FAIRE
    POUR l = 1..n-j FAIRE
      MEMO-COUT2(T0, T1, 1, k, l)
    MAJ-MEMO(T0, T1, k)
  RETOURNER T1[n-j]

```

### Notations

- Pour  $1 \leq i \leq m-1$  et  $1 \leq j \leq n-1$  et deux séquences  $X$  et  $Y$ , on note  $G_{ij}$  (resp.  $H_{ij}$ ) le sous-graphes de  $G_{XY}$  induit par le sous-ensemble de sommets  $\{(k, l) \mid k \leq i \text{ et } l \leq j\}$  (resp.  $\{(k, l) \mid k \geq i \text{ et } l \geq j\}$ ). On remarque que l'on a  $G_{ij} \cap H_{ij} = \{(i, j)\}$ .
- Pour un graphe  $G = (S, A)$  orienté, valué et  $s_o, s \in S$ , on note  $d_{G_{s_o}}(s)$  le coût du plus court chemin de  $s_o$  à  $s$ , et  $c_G$  la fonction valuation de  $G$ .
- Pour simplifier les notations on pose  $d_{G_{XY}} = d_{G_{XY}(0,0)}$ ,  $d_{G_{ij}} = d_{G_{ij}(0,0)}$  et  $d_{H_{ij}} = d_{H_{ij}(i,j)}$ . On remarque que  $g(i, j) = d_{G_{i,j}}((i, j))$  et  $h(i, j) = d_{H_{i,j}}((m, n))$ .

**Question 3.4** Les cas ou  $(i, j) = (0, 0)$  ou  $(m, n)$  sont triviaux. Soit  $1 \leq i \leq m-1$  et  $1 \leq j \leq n-1$  tels que qu'un plus court chemin de  $(0, 0)$  à  $(m, n)$  dans  $G_{XY}$  passe par le sommet  $(i, j)$ . Il existe  $(s_{g_0} = (0, 0), \dots, s_{g_{i'}} = (i, j))$  un plus court chemin de  $(0, 0)$  à  $(i, j)$  dans  $G_{ij}$  et  $(s_{h_0} = (i, j), \dots, s_{h_l} = (m, n))$  un plus court chemin de  $(i, j)$  à  $(m, n)$  dans  $H_{ij}$ .



Les sommets  $s_1, s_2, s_3$ , (resp.  $s'_1, s'_2, s'_3$ ) représentés sur la figure ci-dessus sont les seuls prédecesseurs (resp. successeurs) de  $(i, j)$  dans  $G_{XY}$ . Si on note  $((0, 0), \dots, s, (i, j), s', \dots, (m, n))$  un plus court chemin de  $(0, 0)$  à  $(m, n)$  passant par  $(i, j)$  dans  $G_{XY}$ , on a nécessairement  $s \in \{s_1, s_2, s_3\}$  et  $s' \in \{s'_1, s'_2, s'_3\}$ .

On peut alors – en utilisant les notations introduites – facilement montrer par récurrence finie sur  $k \in \{0 \dots l\}$  l'équation (1). Les équations (2) et (3) se déduisent alors simplement en interprétant les notations.

$$d_{G_{XY}}(m, n) = d_{G_{ij}}(i, j) + \sum_{k=0}^{l-1} c_{H_{ij}}(s_{h_k}, s_{h_{k+1}}) \quad (1)$$

$$= d_{G_{ij}}(i, j) + d_{H_{ij}}(m, n) \quad (2)$$

$$= g(i, j) + h(i, j) \quad (3)$$

**Question 3.5** Listons les complexités spatiales de l'ensemble des structures de données misent en jeu par  $\text{SOL2}(0, 0, \mathbf{m}, \mathbf{n})$ .

— Structures intraséquies :

$$\begin{array}{l|l} X2a, Y2b & \Theta(1) \\ Y2a, F2a & \Theta(n) \\ X2b, F2b & \Theta(m) \end{array}$$

- Les appels de  $\text{SOL1}$  sur  $X2a$  et  $Y2a$  avec  $F2a$  ont une complexité spatiale en  $\Theta(n)$ .
- Les appels de  $\text{SOL1}$  sur  $X2b$  et  $Y2b$  avec  $F2b$  ont une complexité spatiale en  $\Theta(m)$ .
- Un pire appel en termes de mémoire de  $\text{COUT2}$  se fait pour  $i = 0$  et  $j = \lceil \frac{m-n}{2} \rceil$ . Soit une complexité spatiale en  $O(\max(m, n))$  (étape 1).
- De même pour la complexité spatiale de  $\text{COUT2BIS}$ .

La complexité spatiale de l'appel  $\text{SOL2}(0, 0, \mathbf{m}, \mathbf{n})$  est donc bien en  $O(m + n)$ .